

### III-6 EO中に生ずる電気浸透圧とその利用に関する試案

日本大学理工学部 正員 浅川美利

まえがき

電気浸透中に生ずる電気浸透圧を問題として取り上げ、それを静水圧あるいは動水作用に対してもどのように利用するとよいかを考え、E.Oの実用性を考究の方針を変えてこのべようとするものである。

## I. 土粒子および間隙水に作用する力

EOによって土中水が定常的な流れをしているものとし、また間隙水は移動をしても飽和の状態が保たれているということを前提とする。EOに伴って生ずる力は、次のような原因によると考えられている。

いま土粒子—水系の界面において固着層（EOによって流動を起さない土粒子に接する部分）と可動層（EOによって流動する自由水側の部分）との境界面を考える。EOの現象はその両層の相対運動であるので、その境界面に対して大きさ等しく方向反対の二つの力が生ずることとなる。

これらの力を図-1で  $\vec{A}_{\text{Fem}} \times \vec{A}_{\text{ref}}$  でそれを表わす  $= \vec{A}_T$   
 している。すなわち  $\vec{A}_{\text{Fem}} (= -e \text{grad. } E \cdot \nabla V)$  は可動層  
 で、後  
 に生ずる力で、 $\vec{A}_{\text{ref}} (= e \text{grad. } E \cdot \nabla V)$  は固着層に生ずる  
 る力であつて  $\vec{A}_{\text{ref}} = -\vec{A}_{\text{Fem}}$  の関係をもつ電気力である。いる。

また水の流れに伴って起る力として、可動層側には  $\Delta \vec{P}_w$  ( $= -\gamma_w \text{ grad. } H \cdot \vec{D}$ ) なる動水浸透圧による力が作用し、固着層側には水の流動に伴う粘性抵抗力  $\vec{A} \vec{P}_w$  ( $= -A \vec{P}_w$ ) が作用する。

上記の力を合成した方が、土粒子に対する力は、  
 $\Delta F_s = \Delta F_p + \Delta F_d$  として作用し、 $\Delta F_p = -\Delta f_w - \Delta f_{em}$  が  
 両者に作用する。また土粒子に作用する合  
 力  $\Delta F_s$  と有効応力  $\Delta F_p$  は、 $\Delta F_p = -\Delta F_s$  の関係にあり、  
 これがEO 浸透圧  $p_e$  相当量となる。

## II 電氣浸透压

図-2に示すようにEOによって移動した水を溢

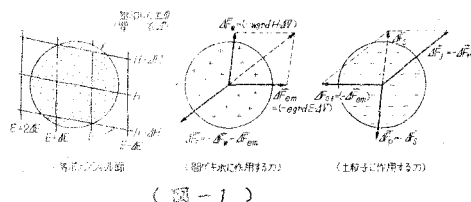
流水せねば、水位の上昇を自由にしておくと、  
 Hmaxまで水位上昇は継続する。Hmaxの水位に  
 おいて油-Hmax層はPeと陽極面で平衡している。  
 この圧力を与えられた電場の電位Eによる土の  
 雷電潜伏圧と呼ぶ。

この  $\rho$  は陽極面で  $\rho = \nu_0 \cdot H_{max}$ , 陰極面に  $\rho = 0$  となる。また電極間の任意の位置  $x$  では次式のように表わされる。

$$\text{He}(x) = H_0 + \left(\frac{\gamma}{\gamma - 1}\right) H_0 E = H_0 + \frac{\gamma}{\gamma - 1} \left(\frac{\rho_0 u_0^2}{R_{\infty}}\right) E$$

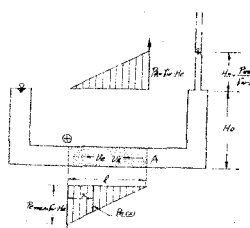
$$P_0(x) = P_0^* + H_0 \left(1 - \frac{\gamma}{\gamma - 1}\right) = P_0^* + \left(\frac{\rho_0 u_0^2}{R_{\infty}}\right) E - \left(1 - \frac{\gamma}{\gamma - 1}\right)$$

(1)



（四）

この  $p_0$  は前項で触れた  
 $\pm \vec{\Delta F}_P$  に相当するもの  
 で、後節の説明では  $p_0$  を  
 $\vec{\Delta F}_P$  の相当量として扱う  
 とする。



#### 四 電氣浸透压の発達過程 (図-2)

(ii) 式は静水圧と浸透圧とが平衡しているときの条件を示したのであるが、実際にはその状態に達するまではかなりの時間を要するわけで、 $t=0$ から  $t=\infty$ までの間に  $p_{\text{ext}}$  は 0 から  $p_{\text{max}}$ まで漸増していくのである。

Geuze は *pe* 発達の時間過程を次のように導いて  
いる。

此時刻後の浸透流量は、 $E_0$  と動水流比に對して  
それそれ次のようには表わされよ。

$$\left. \begin{aligned} d\varphi_e &= k_e \cdot A_r \cdot i_e \cdot dt \quad (E0) \\ d\varphi_k &= k_k \cdot A_r \cdot i_k \cdot dt \quad (H0) \end{aligned} \right\} \dots \dots \dots \quad (2)$$

いま  $dt$  時間に内に  $d\varphi_e$ だけ水位上昇があったとする、

$$dH_e \cdot a = d\varphi_e - d\varphi_k \quad \dots \dots \dots \quad (3)$$

(2) と (3) 式とから、

$$\frac{dH_e}{dt} = A_r (\frac{\varphi_e}{k_e} - \frac{\varphi_k}{k_k}) / a$$

これを integ. し、  $H_{e\max}$  について整理すると、

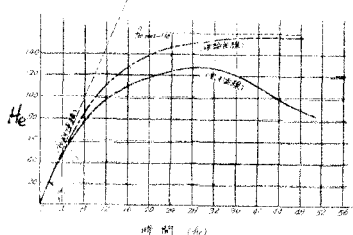
$$H_e = \frac{\varphi_e}{k_e} \cdot E - \frac{e^{\frac{\varphi_e}{k_e} \cdot t} - 1}{e^{\frac{\varphi_k}{k_k} \cdot t}} \quad \dots \dots \dots \quad (4)$$

$\therefore$  ここで  $\varphi_e = \frac{A_r}{A_{el}}$ ,  $A_r$ : 土の有効断面積,  $a$ : スタンドパイプの直徑  
平衡時の水頭  $H_{e\max}$  は、  $\frac{dH_e}{dt} = 0$  として、

$$\frac{\varphi_e}{k_e} \cdot E - \frac{\varphi_k}{k_k} \cdot E = 0 \text{ から、}$$

$$H_{e\max} = (\frac{\varphi_e}{k_e} / \frac{\varphi_k}{k_k}) E \quad \dots \dots \dots \quad (5)$$

となる。



(図-3)

応力の非平衡を考慮する場合に必要である。

#### IV. 電気浸透圧係数 $k_e/k_k$ について

(1) と (4) 式からも知られるように電気浸透圧を論ずるにあたっては、土固有の透水係数比、すなわち  $k_e/k_k$  (浸透圧係数と呼ぶ) は重要な意味をもつて いる。 $k_e/k_k$  についてはすでに“電気浸透法の適性の判定”といふことで前回の講演会にて触れたが、重要な裏だけもひいたゞきでも触れておく。

$p_e$  に關係する物理量は、適用した範囲の水頭  $H_e$  と  $k_e/k_k$  である。

また  $k_e$  と  $k_k$  はともに透水係数であるが、それらに關係する要因は本質的に異なる。両者の相違で重要なことは、 $k_e$  の場合 土の界面の物理・化学的性質に支配されるものであるのに對して  $k_k$  は土の幾何的な性質に大きく支配されるという点である。

また  $k_e$  の実用値は、 $10 \times 10^{-4} \sim 10 \times 10^{-5} \text{ cm/sec}$  ( $10 \text{ m/sec}$ ) であるのにくらべて  $k_k$  は周知のようにきわめて広範囲に變化する値である。

したがつて  $k_e/k_k$  は結果として  $k_k$  に影響されることが大きく、 $k_k$  の小さいものの程  $k_e/k_k$  が大きくなると考えおいてよい。すなわち  $k_e/k_k$  は  $\varphi_e$  あるいは  $d$  (平均粒径) を用数として逆比例關係にあると考えて一応さしつかえない。

#### V. 2, 3 の応用例

##### V-1 矢板背後の静水圧の軽減と動水作用の防止

いまオーバンカットにおける矢板背後の問題を一例として考えてみると、水理的な事柄として、土圧に加算される静水圧と掘削部の水位低下に伴なつて起る動水作用があげられよう。これらの圧力および作用の軽減あるいは防止を E の浸透圧の利用によってなしうる。

上でのべたことからわかるように E に伴つて  $p_e$  なる有効圧の増加があり、その量はちょうど E の浸透圧に相当するもので、静水圧は  $p_e$  だけ控除されたものとなる。したがつて矢板背後に加わる全土圧はそれだけの軽減が示えられるわけである。

また矢板先端から掘削底面に起る動水作用(ボイリング)は 動水側度数によるわけであるが、動水方向に対抗して E の浸透圧を作用せよと、結果として限界動水側度数( $m$ )は 増加されたと同じこととなつて 動水作用が防止されることとなる。

静水圧低下によつて益のある基礎工の問題はほかにも沢山あるが、シールドやマティックケーソン工において 西内空気圧の低下をはかる手段として E の浸透圧を用いてみるのも面白い。

この場合 E の適用を空気圧低下だけに限らないで、画面外に働く周辺摩擦抵抗の軽減といふことを併用するふうに考えると、十分実用しうるようになると思ふ。

##### V-2 ゆるい砂質地盤の压密

E のドレーンの適用によつて土が压密される原

- 因には、(1)間ゲキ水の挿入による土の体積変化、  
 (2)電気浸透圧に相当する有効圧力の発生による、  
 の二つが主なものとしてあげられる。

これらの原因による圧密のほかに (2)に関連して土を締固める原因がもう一つ考えられる。それは II. でのべた二つの力(間ゲキ水に作用する合力と土粒子に作用する合力)の平衡関係と E.O. 浸透圧の発達過程の両面から考えると説明のつくことである。

$\vec{F}_s$  と  $\vec{F}_w$  は E.O. 適用後 十分な時間を経て流れが定常な状態となつたときに 初めて平衡するのである。すなわち そのような定常流に達するまでには、 $\vec{F}_s$  は漸次増加されていき、それに伴つて流れも加速されるわけで、 $\vec{F}_s = \vec{F}_w$  となるまでの時間過程において  $\vec{F}_w - \vec{F}_s$  だけの力が土を圧密する原因となる。

この原因による圧密効果は力の非平衡の利用という二ことで、上記(1)と(2)の原因とはやや異質なものであるが たとえば きわめてゆるい砂質の地盤(海岸埋立地のようなゆるいシルト質砂地盤)を対象として E.O. ドレーンを行なうような場合、期待できる効果の一つであろうかと思う。

### T-3 土留ましれない直立斜面の安定

泥水工法などで土留矢板を用ひないでトレニタ掘削などを行なっている工法が盛んに行なわれるようになってきている。その場合の直立面の安定に関していろいろな論議が出されているが、十分その事実を証明し得るものはないようと思われる。筆者は その直立面の安定の主要原因が浸透圧作用によるものであるという見解をもつて 現在実験的研究を行なっている。E.O. のように人為的に電場を与えて壁面に浸透圧を作用させるということも考えられるわけであるが、いまのところ安定理由を解明するということを目標におき、薄いペントナイト膜を介し泥水と静水との間に自然発生する水位差によって浸透圧の生ずる場合

の問題を考えている。

浸透圧の原因をなす電場が人為的であっても自然発生的なものであっても、直立面の安定が浸透圧に起因しているということで ここに例示しておいた。詳細は別の機会に報告するつもりである。

(備考) ベントナイト膜の生成機構は Verder の考え方を、浸透圧作用の考え方方は Franke の理論をベースとして研究をすすめている。

### 参考文献

- (1) A.S. Wang & E. Rey : "Stress in Saturated Soil Mass during Electro-Osmosis" Proc. 3rd Int. Conf. on Soil Mech. & Found. Eng., Vol. 1, pp. 76~79 (1953)
- (2) E.C.W.A. Greuze : "Results of Laboratory Investigations on the Electrical Treatment of Soils" Proc. 2nd Int. Conf. on Soil Mech. & Found. Eng., Vol. 3, pp. 153 ~157 (1948)